

(123) 18-8 ステンレス鋼中非金属介在物の電解抽出法について

(18-8 ステンレス鋼中の非金属介在物に関する研究—Ⅱ)

鉄鋼短期大学

工博 伊佐重輝・○岩井彦哉・辻野文三
On Electrolytic Method of Extracting Non-Metallic Inclusions in 18-8 Stainless Steel.
(Study on nonmetallic inclusions in 18-8 stainless steel—Ⅱ)Dr. Shigeteru Isa, Hikoya IWAI
and Bunzō TSUJINO.

1. 緒 言

前報¹⁾において鋼中非金属介在物の研究に対しては、それの抽出分離が重要な基礎的手法の一つであるため、それぞれの場合における最も適切な抽出分離法を明確にする必要性のあることを述べた。そして 18-8 ステンレス鋼中に含まれるおもな介在物 13 種を実験室的に調製し、温硫酸法および 10% HCl アルコール溶液電解抽出法による抽出可能性とその限度を調べるために、まず抽出時と同じ条件で両法に用いる溶液中に各種介在物を一定時間浸漬し、この溶液に対する各介在物の化学的性質、すなわち溶解度、変質の有無などを調べ、それぞれの方法による抽出可能性を推定した。しかし電解抽出法においてはさらに各介在物を実際に含有している鋼片試料を用いて、これをいろいろの電解条件で電解抽出しその残渣を検討することによって、その電気化学的性質を調べ、定量的にそれぞれの抽出性を検討する必要がある。一般にこのような実験結果は少なく、従来の電解抽出法は主として経験によって各抽出条件が決められてきている。その原因は適当な陽極試料（非金属相あるいはこれを一定量含有した鋼片試料）が得にくくことによる。とくに特定の介在物を一定量、均一に分布した鋼片を作製することが極めて困難であることが大きい原因と考えられる。そこで著者らはこの点に関して 18-8 ステンレス鋼の粉末に特定の介在物を一定量均一に混合したものを加圧成形した後、H₂ 気流中で焼結する粉末冶金法によって目的の鋼片試料を作製することを試みた。

本実験においては前報の実験に用いた介在物のうち比

Table 1. Chemical analysis and physical properties of glidden 304-L stainless steel powder.

Chemical analysis							
Element	C	Si	Mn	S	P	Cr	Ni
%	0.02	1.02	0.19	0.018	0.011	18.44	10.65
Sieve analysis							
Mesh	+100	-100～+140	-140～+200	-200～+325	-325		
%	0.7	7.3	14.2	20.2	57.6		
Apparent density(g/cc)				Flow rate(sec/50 g)			
	2.87				27		

Table 2. Dimension, weight and density of sintered specimens.

Mark	Kinds of inclusions mixed	Dimension(cm)	Weight(S)		Density(g/cc)	
			Before sinter	After sinter	Before sinter	After sinter
B	Blank	4.00×1.38×1.03	35.4559	35.4257	6.01	6.23
Q	α-Quartz	4.00×1.40×1.03	35.4175	35.3820	5.97	6.13
TS	Tridymite	4.00×1.40×1.03	35.3890	35.3642	5.95	6.14
C	α-Cristobalite	4.01×1.48×1.03	35.7958	35.7445	5.62	5.87
S	Amor. SiO ₂	3.99×1.40×1.03	35.4620	35.3828	5.83	6.14
A	α-Al ₂ O ₃	3.98×1.39×1.02	35.5607	35.4894	5.90	6.28
T ₁	TiO ₂	3.98×1.40×1.02	35.4961	35.4023	5.88	6.21
T ₂	Ti ₂ O ₃	3.98×1.39×1.02	35.1714	35.1270	5.87	6.20

を適用して目的とする電解抽出用陽極試料を作製することを試みた。

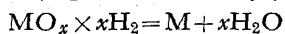
使用したステンレス鋼粉末は Glidden 社製 304L でその化学組成および物理的諸性質は Table 1 に示すとおりである。

試料の焼結方法はつきのとおりである。すなわち 2.1 項において述べた供試の各介在物 (100 mesh 以下に粉碎) を、上記のステンレス鋼粉末 100 g に対して 600mg の割合によく混合した後、8t/cm² の圧力をもつて 4.0×1.0×1.4 cm の大きさに加圧成形し、これを 32 mm φ の石英管の中に入れ十分真空に引いた後、P_{H₂O}/P_{H₂} = 10⁻⁵ の H₂ ガス (流量 130cc/min) 雰囲気中で 1240°C に加熱、50min 間保持後石英管を炉外に引出して空冷した。

各焼結試料の寸法形状、重量、密度を Table 2 に、またその断面の顕微鏡組織

を Photo. 1 に示す。なお参考までに介在物を混入していない試料 B の機械的性質を A. H. GROBE と G. A. ROBERTS の実験結果²⁾から推定すると、抗張力は 38kg/mm²、伸び 19% 程度になるものと考える。

つぎに混合した介在物は焼結中に H₂ により、(1) 式に示すような反応で還元されるおそれがあるため、純粹固体の各介在物について 1227°C で反応が平衡に達したときの、P_{H₂O}/P_{H₂} 比を熱力学数値³⁾を用いて計算してみた。これを Table 3 に示す。



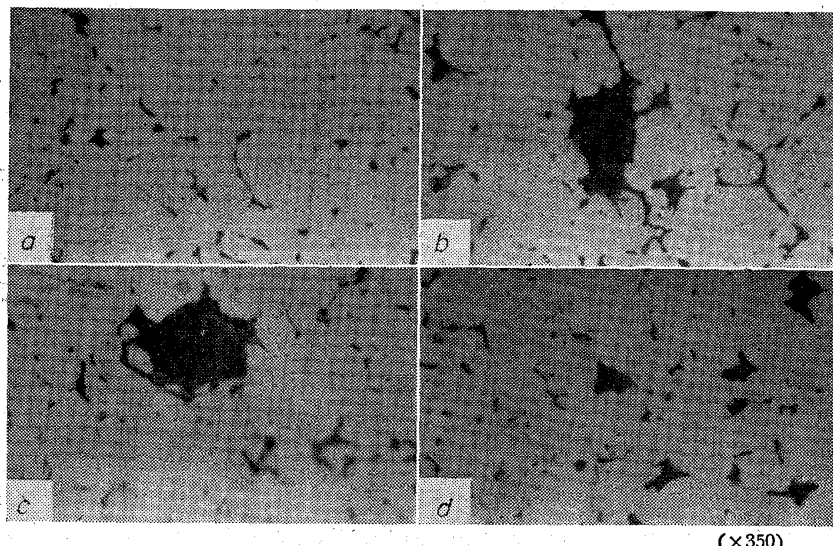
$$K = (P_{H_2O}/P_{H_2})^x \dots \dots \dots (1)$$

Table 3 より H₂ 雰囲気の P_{H₂O}/P_{H₂} 比が 10⁻⁵ 程度であればいずれも還元されないものと推定されるが、加熱に伴う変態のおそれもあり、念のために焼結時と同一条件で、それぞれの介在物を単独で熱処理し、X線回析により変質の有無を調べたが、α-Quartz が極く少量 α-Cristobalite に変った他はいずれも変化しないことを確認した。

2.3 電解抽出装置および抽出条件

本実験に用いた電解抽出装置は前報にも述べたように K. BUNGARDT と G. LENNARTZ⁴⁾ の方法と同様で、その概略を Fig. 1 に示す。

電解液は 10% HCl アルコール溶液を用い、20mA/cm² の電流密度で約 45 hr 電解を行なつた。



a: Specimen B b: Specimen TS c: Specimen S d: Specimen T₁
Photo. 1. Microstructure of sintered specimens.

Table 3. Equilibrium constants for the reaction of reducing oxide inclusions by H₂ gas at 1227°C.

Oxide inclusions	SiO ₂	α-Al ₂ O ₃	TiO ₂	Ti ₂ O ₃
log(P _{H₂O} /P _{H₂})	-5	-8	-6	-7.24

試料の Si 含有量が高いため抽出した残渣中には、電解中に生じたゲル状シリカが混入するものと考えられるのでアルカリ処理⁵⁾を2回行ない、HCl を加えて水酸化物の沈澱を溶解した後、遠心分離器により残渣を分離、温湯でよく洗浄してから水で残渣を蒸発皿に移し、約 80°C で乾燥、秤量の後、化学分析および X 線回析を行なつて抽出残渣を同定した。

3. 実験結果および考察

3.1 Blank 試料の抽出残渣の検討

まず介在物を混入していない試料 B を前述の方法で電解し、その抽出残渣について含有量および組成を調べた。結果は Table 4 に示すように焼結試料の介在物は意外に多く、化学分析と X 線回析の結果その大部分は α-Cristobalite であることが判明した。

初期の実験においては抽出残渣量のバラツキが大きくその範囲は 2.00~5.35mg/g であった。そこでステン

Table 4. Content and composition of total residue extracted from specimen B.

Content of total residue (mg/g)	Content of SiO ₂ in residue (mg/g)	Composition of extracted residue					
		SiO ₂	Cr ₂ O ₃	Ti ₂ O ₃	Al ₂ O ₃	Fe ₃ O ₄	
5.11	4.60	90.00	5.62	0.80	1.09	1.79	99.30

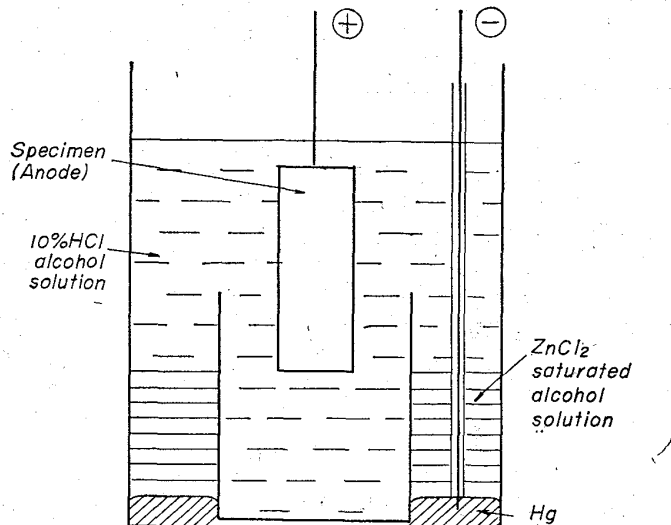


Fig. 1. Apparatus for electrolytic extraction of inclusions in steel.

レス鋼粉末を温硫酸法で溶解して抽出残渣を調べてみると、やはり残渣の大部分(72%)は非晶質SiO₂でありその含有量は3.43 mg/gとなりバラツキはありません。したがつてバラツキの原因は焼結条件にあり、とくにH₂ガスのP_{H₂O}/P_{H₂}比が10⁻⁵より大きいときは固溶しているSiが酸化されてSiO₂を生成し、小さいときは還元されて減少することにある。なお残渣は非常に細い粉末であるため焼結時にα-Cristobaliteに変態するものと推定された。そこで焼結温度および時間、H₂ガスの流量を厳密に一定に保つたところバラツキは非常に小さくなつた。Table 4はこの条件における値を示したものである。したがつてSiO₂系介在物の実験値に対しても試料BのSiO₂含有量を差引かなければならない。

3.2 各種介在物の電解抽出率

各試料を前述の方法、条件で電解し、抽出した残渣の後処理を行なつた後、化学分析およびX線回折によつて混入させた介在物の抽出量を求め、一方陽極試料の電解量から予定抽出量を算出し、両者を比較して抽出率を検討した。その結果はTable 5にまとめた。

試料A, T₁, T₂の抽出率はいずれも100%を超えてゐる。そして試料Bの抽出残渣中のTi₂O₃, Al₂O₃はともに1%前後であつたから、これを差引いてもなお大き過ぎる。しかし焼結および電解抽出過程を通じてこれらの酸化物が新たに生成する原因是見当らないので、これは一応介在物均一混合および化学分析における誤差と考えた。

試料Sの抽出率はやや低いが前報の実験結果によると非晶質SiO₂は10% HClアルコール溶液浸漬によつて5.7%溶解するため、この影響によるものと推察す

Table 5. Electrolytic extraction percentage.

Mark	Electrolyzed weight of specimens(g)	Extraction weight of different inclusions (mg)		Electrolytic extraction percentage A/B×100
		Experimental value(A)	Calculated value(B)	
Q	16.7025	99.9	100.2	99.6
TS	15.2452	89.9	91.4	98.4
C	16.1902	93.2	97.0	96.0
S	15.4951	89.0	93.0	95.7
A	15.1095	93.0	90.6	102.6
T ₁	16.9375	100.0	96.5	103.6
T ₂	16.0239	90.0	86.5	104.0

る。

4. 結 言

(1) ステンレス鋼粉末を加圧成形、焼結する粉末冶金法によつて、特定の介在物が一定量、均一に含有する試料を作製し、これを陽極試料として各介在物の10% HClアルコール溶液による電解抽出率を、定量的に検討することができた。

(2) 10% HClアルコール溶液による電解抽出法によつてα-Quartz, Tridymite, α-Cristobalite, α-Al₂O₃, TiO₂およびTi₂O₃はいずれも変質することなく、ほとんど完全に抽出分離できる。また非晶質SiO₂も少量は電解液に溶解するが大部分は抽出できる。

(3) 本実験においては初期段階として比較的安定な酸化物についてのみ検討したが、さらに介在物としてしばしば議論されるMnO-SiO₂系、MnO-Al₂O₃-SiO₂系の複合脱酸生成物についても同様の方法でもつて、その抽出分離性の検討を試みることは今後興味ある問題と考える。

文 献

- 1) 伊佐, 岩井, 井上, 辻野: 鉄と鋼, 51 (1965) 4, p. 821
- 2) A. H. GROBE, G. A. ROBERTS: Trans Met. Soc., Amer. Inst. Min., Met. & Pet. Eng., 191 (1951), p. 125
- 3) J. F. ELLIOTT, M. GLEISER: Thermochemistry for steelmaking, 1 (1960), Addison-Wesley,
- 4) K. BUNGARDT, G. LENNARTZ: Arch. Eisenhüttenw., 27 (1956), p. 127
- 5) 日本学術振興会製鋼第19委員会編: 鉄鋼化学分析全書新版8, p. 141